

# Оптическое сверхизлучение в кристалле $\text{LaF}_3:\text{Pr}^{3+}$

**В.А.Зуйков, А.А.Калачёв, В.В.Самарцев, А.М.Шегеда**

*Впервые экспериментально получено оптическое сверхизлучение в ван-флековском парамагнетике – кристалле  $\text{LaF}_3:\text{Pr}^{3+}$  (переход  ${}^3P_0 - {}^3H_4(0)$ , длина волны 477.7 нм, температура 2.2 К, коэффициент резонансного поглощения  $\alpha = 4.7 \text{ см}^{-1}$ , длина образца 8 мм) – при возбуждении лазерным импульсом длительностью 10 нс.*

**Ключевые слова:** сверхизлучение, ван-флековский кристалл, оптическая накачка.

## Введение

Оптическое сверхизлучение (СИ) представляет собой когерентное узконаправленное спонтанное излучение фотонов системой инвертированных частиц (связанных между собой полем излучения и шумовым полем) с интенсивностью, пропорциональной квадрату их числа. Данное явление было теоретически предсказано Р.Дике в 1954 г. [1] до появления лазеров. Идея возможности когерентного спонтанного излучения сыграла значительную роль в развитии когерентной и квантовой оптики, а заложенные в ней перспективы получения интенсивного когерентного излучения за один проход через среду (в отсутствие обратной связи) имеют большую практическую значимость. Первый эксперимент по СИ был поставлен в 1973 г. на газах (парах HF [2]). Затем последовала серия подобных экспериментов на других газовых средах, описанных в обзоре [3] и книге [4].

Первые твердотельные эксперименты по оптическому СИ были поставлены в начале 80-х гг. [5, 6] на  $\text{O}_2$ -центрах в кристалле KCl и на примесных молекулах пирена в кристалле дифенила [7, 8]. Детальный анализ этих экспериментов, проведенный в обзоре [9], выявил характерные особенности СИ в твердых телах по сравнению с газами. Данные особенности связаны с плотной упаковкой примесных центров в матрице (в отличие от разреженных газов), с наличием кристаллического окружения и непростой структурой энергетических уровней указанных центров.

В связи с этим каждый новый твердотельный эксперимент по СИ является важным, тем более, если он поставлен на среде, перспективной для использования в качестве носителя информации в оптических процессорах. Такими средами являются ван-флековские парамагнетики – примесные кристаллы, легированные редкоземельными ионами, и среди них кристалл  $\text{LaF}_3:\text{Pr}^{3+}$ .

Цель настоящей работы – первое экспериментальное наблюдение и предварительное исследование оптичес-

кого СИ в кристалле  $\text{LaF}_3:\text{Pr}^{3+}$  на переходе  ${}^3P_0 - {}^3H_4(0)$  (длина волны  $\lambda = 477.7 \text{ нм}$ , температура 2.2 К). Теоретические оценки показали [10], что в этом кристалле возможно наблюдение сигналов долгоживущего и триггерного СИ. Учитывая то обстоятельство, что сигналы СИ существенно мощнее сигналов долгоживущего фотонного эха, мы надеемся на практическое использование сигналов СИ в системах оптической памяти. На наш взгляд, представленный эксперимент может оказаться начальным для последующих перспективных исследований.

## Эксперимент

Схемы экспериментальной установки и рабочих энергетических уровней  $\text{LaF}_3:\text{Pr}^{3+}$  изображены на рис.1 и 2. Образец (кристалл  $\text{LaF}_3:\text{Pr}^{3+}$ , атомная концентрация празеодима составляла 1 %) размером  $4 \times 4 \times 8 \text{ мм}$  помещался в криостат и охлаждался до температуры жидкого гелия ( $T = 2.2 \text{ К}$ ). Оптическое возбуждение одиночным лазерным импульсом осуществлялось на переходе  ${}^3H_4(0) - {}^3P_0$  ( $\lambda = 477.7 \text{ нм}$ ) с частотой повторения 12.5 Гц. Излучение лазера фокусировалось на образец при помощи линзы с фокусным расстоянием 30 см, диаметр пучка излучения в образце составлял 0.1 мм. Длительность возбуждающего импульса была равна 10 нс, а спектральная ширина составляла 3–4 ГГц, что примерно на два порядка меньше неоднородной ширины оптического перехода. Мощность импульсов изменялась в пределах 5–35 кВт. Оптическая ось кристалла была ориентирована под углом  $5^\circ$  относительно направления распространения

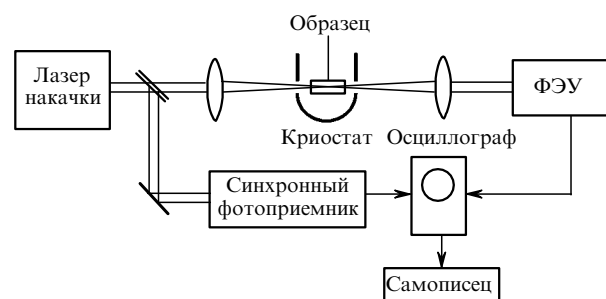


Рис.1. Схема экспериментальной установки.

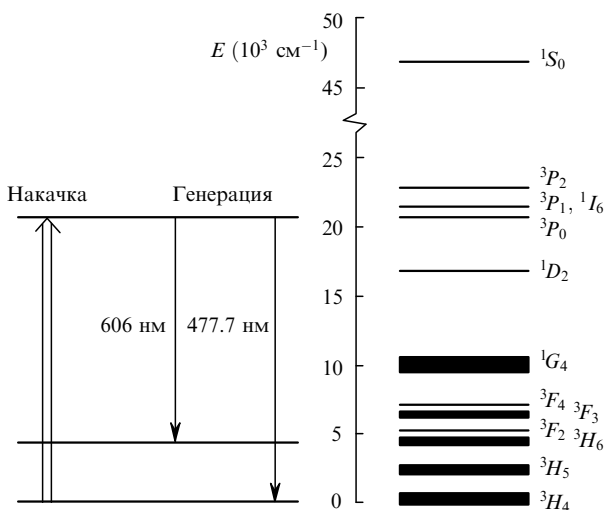


Рис.2. Схема рабочих энергетических уровней иона  $\text{Pr}^{3+}$  в кристалле  $\text{LaF}_3$ .

возбуждающих импульсов. Коэффициент резонансного поглощения  $\alpha = 4.7 \text{ см}^{-1}$ .

Излучение резонансной среды регистрировалось ФЭУ, сигнал с которого наблюдался на осциллографе, запускаемом синхронизирующим импульсом с фотоприемника.

## Основные результаты

В эксперименте исследовались характер и свойства излучения кристалла  $\text{LaF}_3:\text{Pr}^{3+}$  в условиях постепенного увеличения пиковой мощности импульса накачки. Когда мощность лазерного импульса превышала некоторое пороговое значение ( $\sim 10 \text{ кВт}$ ), резонансная среда излучала в направлении возбуждающего импульса (и в противоположном направлении) задержанный во времени на 12–15 нс оптический когерентный импульс длительностью 10–12 нс, который мы идентифицировали как импульс оптического СИ на переходе  $^3P_0 - ^3H_4(0)$ .

Осциллограмма этого сигнала (правый пик) вместе с одиночным импульсом накачки (левый пик) приведена на рис.3, а. При мощности возбуждающего импульса меньше 10 кВт задержанный во времени импульс СИ отсутствовал. На рис.3, б приведена картина сигналов СИ, возбуждаемых последовательностью импульсов накачки с частотой повторения 12.5 Гц. Сигналы регистрировались в направлении, обратном направлению накачки.

Обратим внимание на ряд характерных признаков обнаруженного сигнала: 1) большая интенсивность, существенно превышающая некогерентный спонтанный фон; 2) время когерентного высвечивания (10 нс) значительно меньше времени жизни состояния  $^3P_0$  [11]; 3) заметная задержка высвечивания импульса; 4) наличие характерных для СИ статистических свойств; 5) острая пространственная направленность излучения в обе стороны образца (сигнал наблюдался как в направлении распространения возбуждающего импульса, так и в противоположном направлении); 6) исчезновение сигнала с ростом температуры образца (выше 4.2 К), характерное для коллективных процессов типа СИ и оптических переходных процессов (усиление некогерентного спонтанного излучения в инвертированной среде не зависит от температуры). Эти признаки позволили нам сделать вывод, что за-

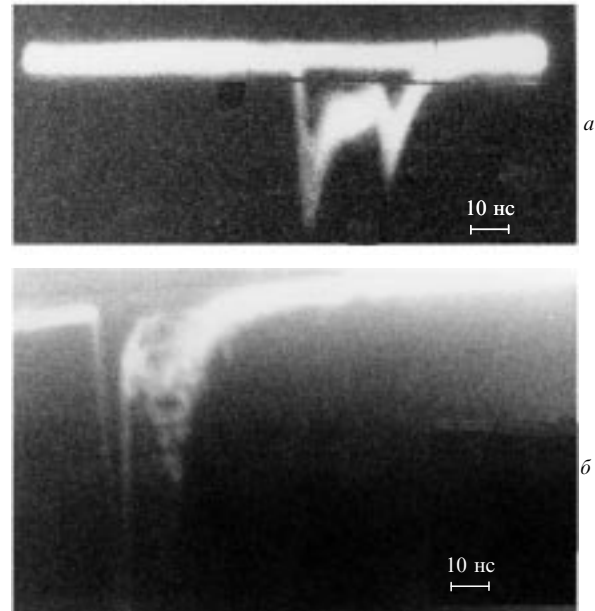


Рис.3. Осциллограммы сигналов СИ (справа) в протяженном образце  $\text{LaF}_3:\text{Pr}^{3+}$  при возбуждении одиночным импульсом накачки (а) и серией импульсов с частотой повторения 12.5 Гц (б).

фиксированный после возбуждающего импульса дополнительный оптический сигнал является сигналом СИ.

Кроме этого сигнала СИ (голубого цвета), кристалл излучает и на переходе  $^3P_0 - ^3H_6$ , соответствующем  $\lambda = 606 \text{ нм}$ , еще один сигнал СИ (оранжевого цвета). Осциллограмма этого сигнала аналогична вышеупомянутой, однако время его задержки относительно импульса накачки достигало 30 нс (и даже больше), а пороговая мощность накачки, необходимая для возникновения сигнала СИ, составляла уже 30 кВт. Таким образом, можно говорить о наблюдении двухцветного СИ в данном кристалле.

## Заключение

Обнаружение сигнала СИ в кристалле, активированном некрамерсовым редкоземельным ионом ( $\text{Pr}^{3+}$ ), имеет принципиальное значение для его использования в оптических процессорах, особенно в триггерном режиме возбуждения [12]. Принимая во внимание факт существования у примесного иона празеодима долгоживущих сверхтонких подуровней основного состояния  $^3H_4(0)$ , можно ожидать появления в этом кристалле долгоживущего триггерного СИ [13]. Мы планируем реализовать эти режимы формирования СИ в ближайших работах.

Данная работа поддержана МНТЦ (проект № 737), Программой «Университеты России – Фундаментальные исследования» (проект № 990214), РФФИ (грант № 99-02-18495а) и Программой МНТ РФ «Физика квантовых и волновых процессов» («Фундаментальная спектроскопия» и «Лазерная физика»).

1. Dicke R.H. *Phys. Rev.*, **93**, 99 (1954).
2. Skribanovitz N., Hermann I.P., MacGillivray J.C., Feld M.S. *Phys. Rev. Letts.*, **30**, 309 (1973).
3. Андреев А.В., Емельянов В.И., Ильинский Ю.А. *УФН*, **131**, 653 (1980).
4. Набойкин Ю.В., Самарцев В.В., Зиновьев П.В., Силаева Н.Б. *Когерентная спектроскопия молекулярных кристаллов* (Киев, Наукова думка, 1986).

5. Florian R., Schwan L.O., Schmid D. *Solid State Comms.*, **42**, 55 (1982).
6. Florian R., Schwan L.O., Schmid D. *Phys.Rev.A*, **28**, 2709 (1984).
7. Зиновьев П.В., Лопина С.В., Набойкин Ю.В. и др. *ЖЭТФ*, **85**, 1945 (1983).
8. Набойкин Ю.В., Самарцев В.В., Силаева Н.Б. *Изв. АН СССР. Сер. физич.*, **47**, 1328 (1983).
9. Zinoviev P.V., Samartsev V.V., Silaeva N.B. *Laser Physics*, **1**, 1 (1991).
10. Kalachev A.A., Samartsev V.V. *Laser Physics*, **9**, 916 (1999).
11. Chen Y.C., Chiang K., Hartmann S.R. *Optics Comms.*, **29**, 181 (1979).
12. Andrianov S.N., Samartsev V.V. *Laser Physics*, **8**, 1194 (1998).
13. Andrianov S.N., Samartsev V.V. *Laser Physics*, **9**, 470 (1999).

**V.A.Zuikov, A.A.Kalachyov, VV.Samartsev, A.M.Shegeda. Optical superradiance in a Pr<sup>3+</sup>:LaF<sub>3</sub> crystal.**

Optical superradiance in a van Vleck paramagnet (a Pr<sup>3+</sup>:LaF<sub>3</sub> crystal on the  $^3P_0 - ^3H_4(0)$  transition) was experimentally obtained for the first time. Superradiance at a wavelength of 477.7 nm was emitted by a sample 8 mm long, with resonant-absorption coefficient  $\alpha = 4.7 \text{ cm}^{-1}$ , excited by 10-ns laser pulses at a temperature of 2.2 K.